

図2-8-73 蒸気流量の挙動予測結果(ケースⅡ-1: 蒸気流量200t/h維持, かつ深部井熱水を地域北部に還元)

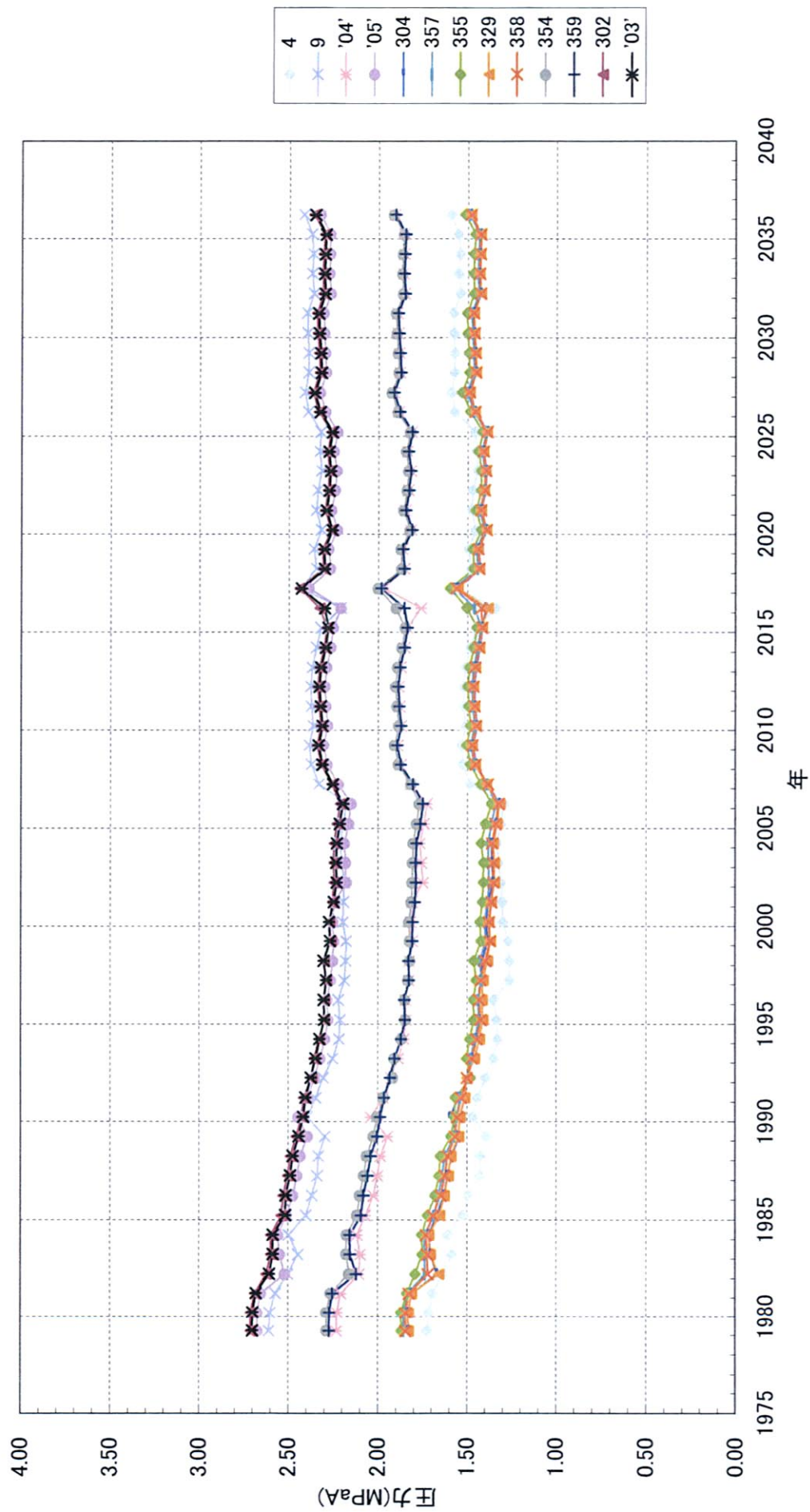


図2-8-74 浅部井流入点ブロック圧力の挙動予測結果
 (ケースⅡ-1: 蒸気流量200t/h維持, かつ深部井熱水を地域北部に還元)

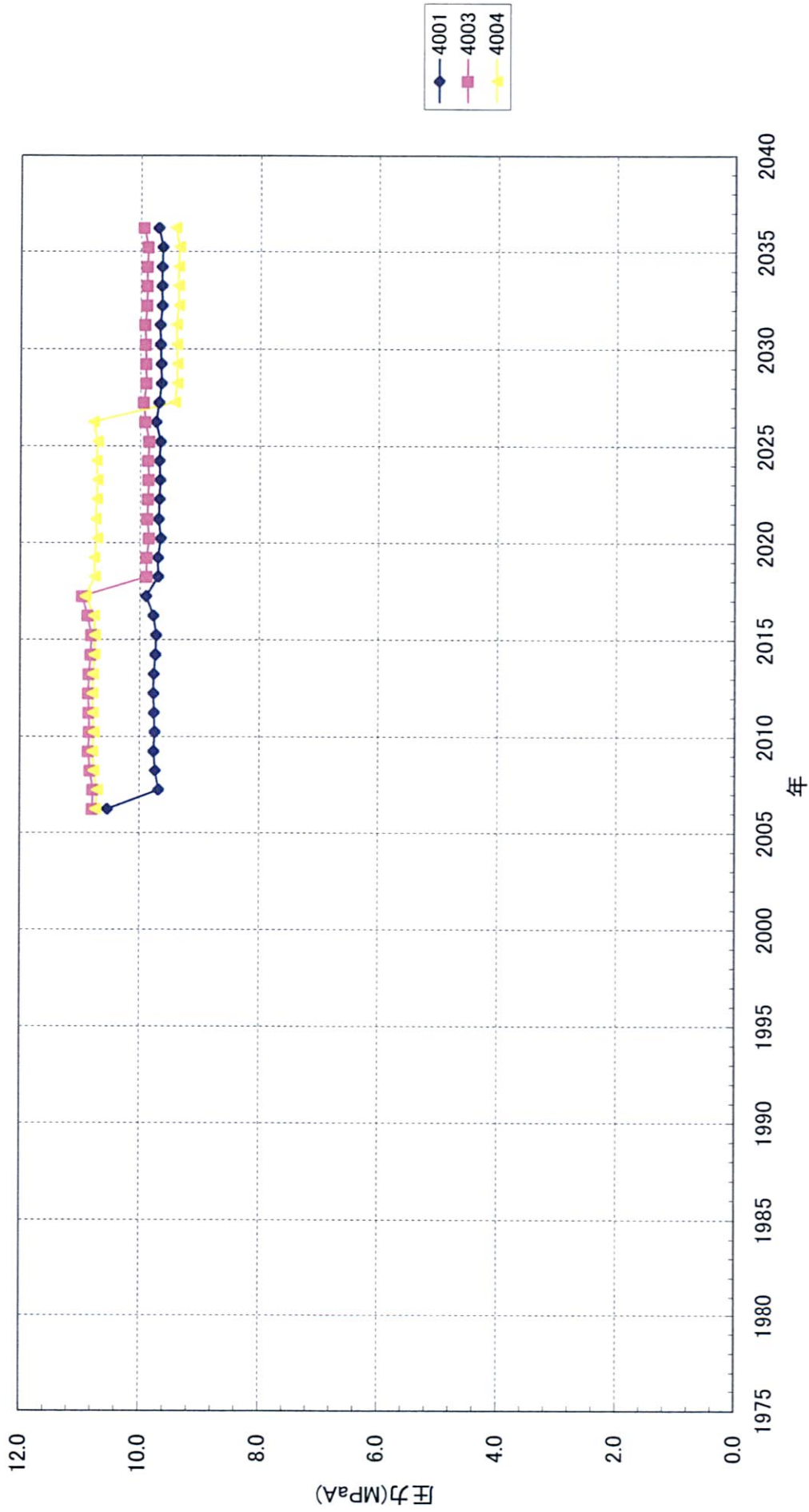


図2-8-75 深部井流入点ブロック圧力の挙動予測結果
 (ケースⅡ-1: 蒸気流量200t/h維持, かつ深部井熱水を地域北部に還元)

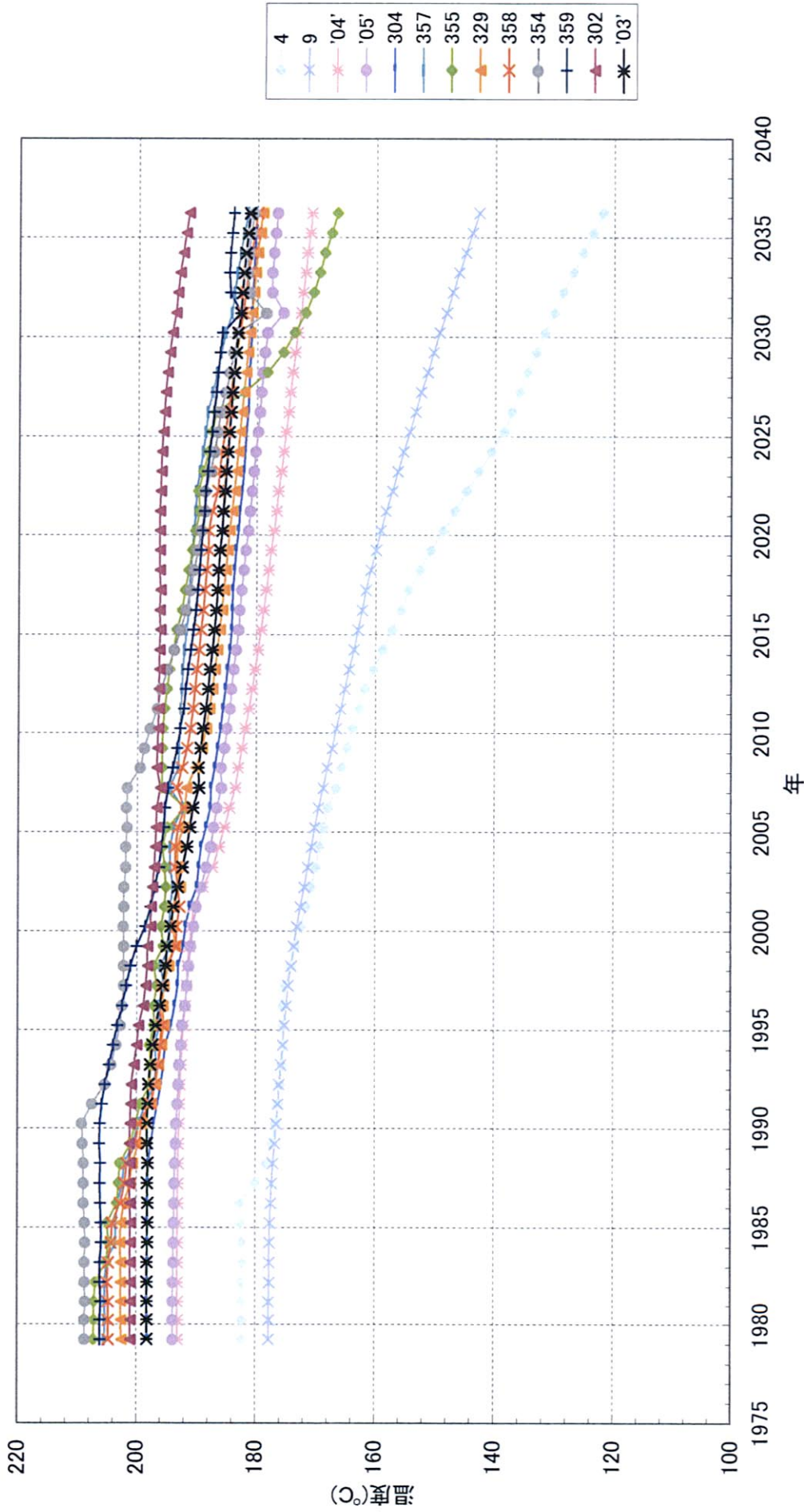


図2-8-76 浅部井流入点ブロック温度の挙動予測結果
 (ケースⅡ-1:蒸気流量200t/h維持,かつ深部井熱水を地域北部に還元)

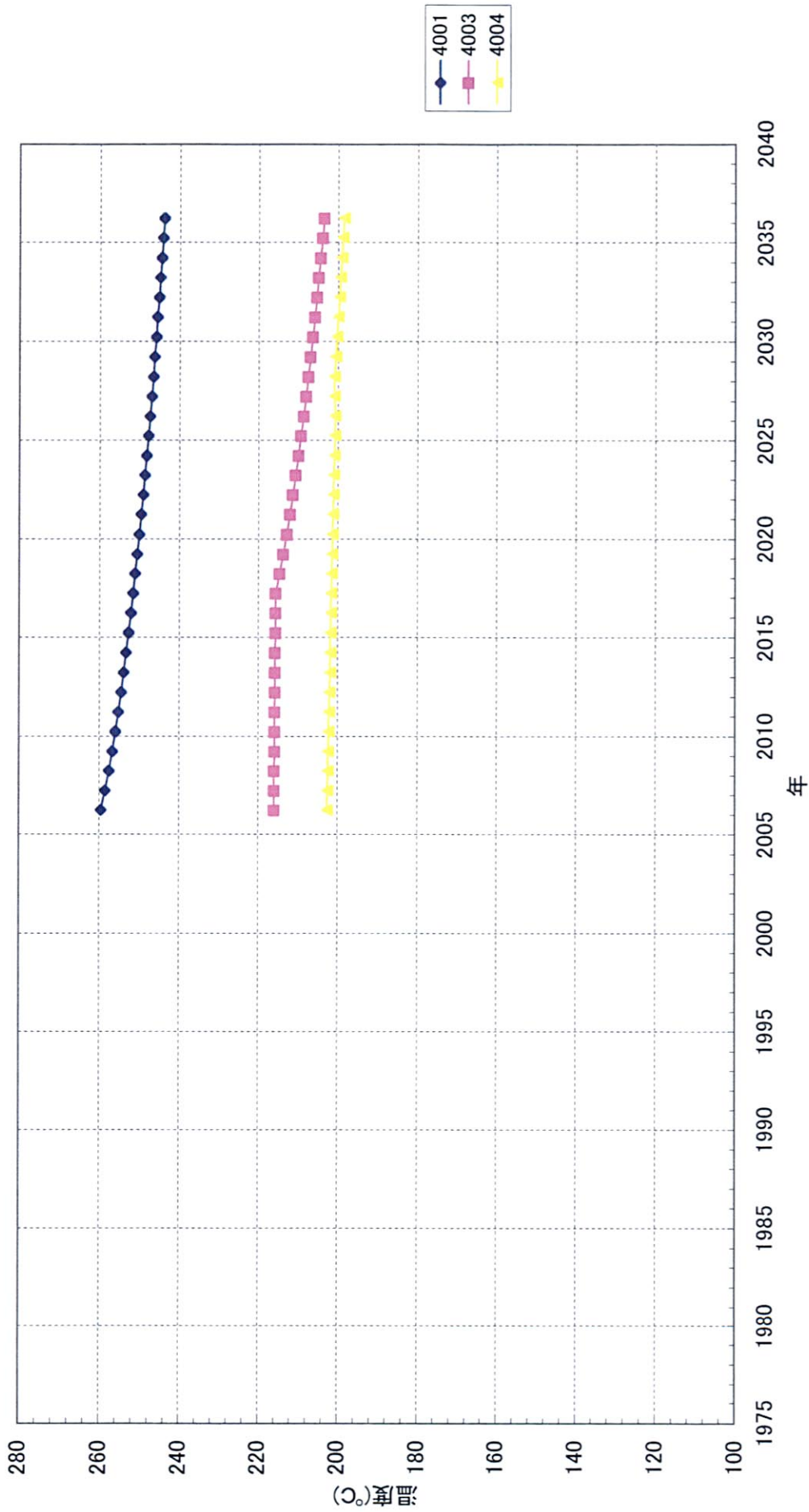


図2-8-77 深部井流入点ブロック温度の挙動予測結果
 (ケースⅡ-1:蒸気流量200t/h維持, かつ深部井熱水を地域北部に還元)

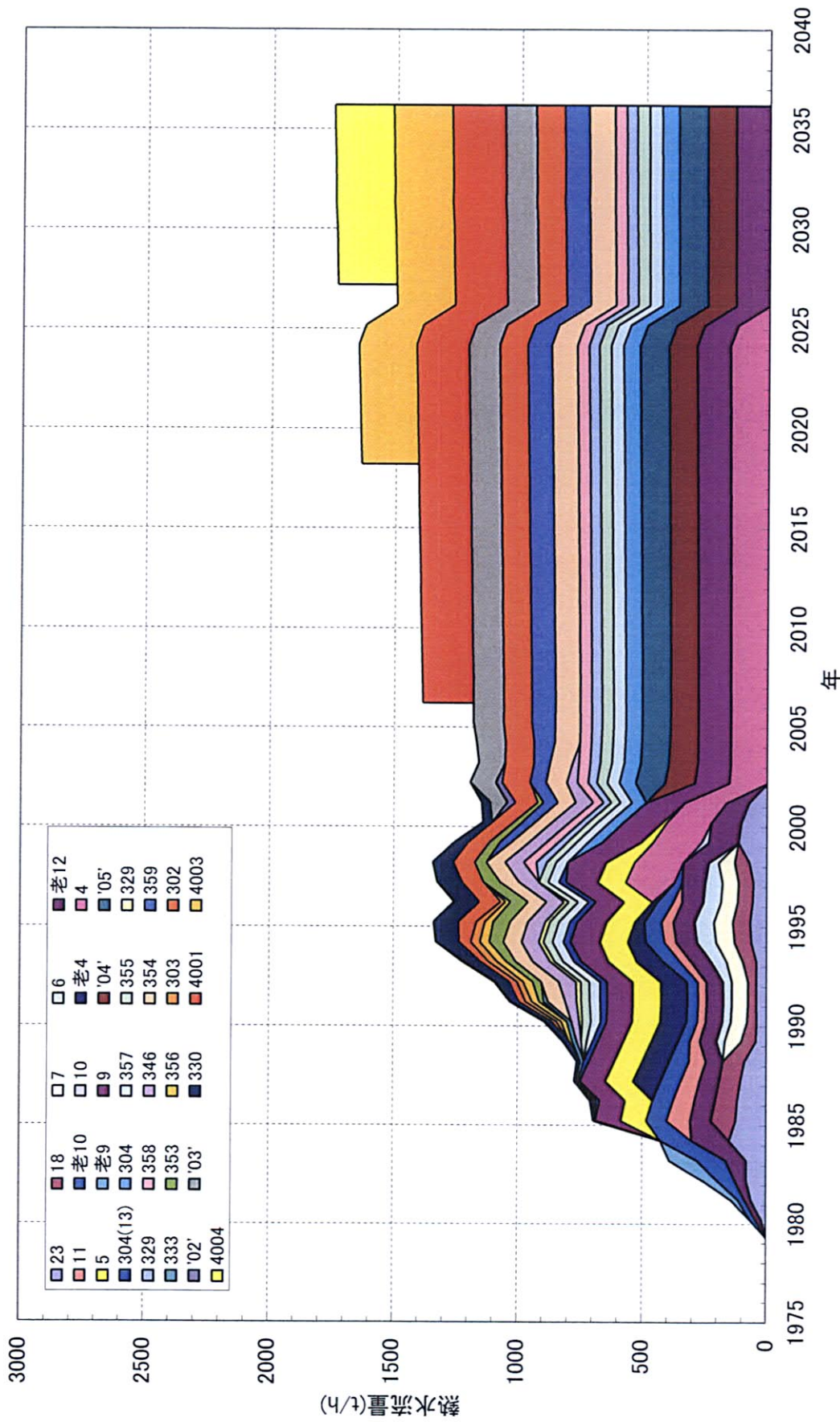


図2-8-78 熱水流量の挙動予測結果
 (ケースⅡ-1:蒸気流量200t/h維持, かつ深部井熱水を地域北部に還元)

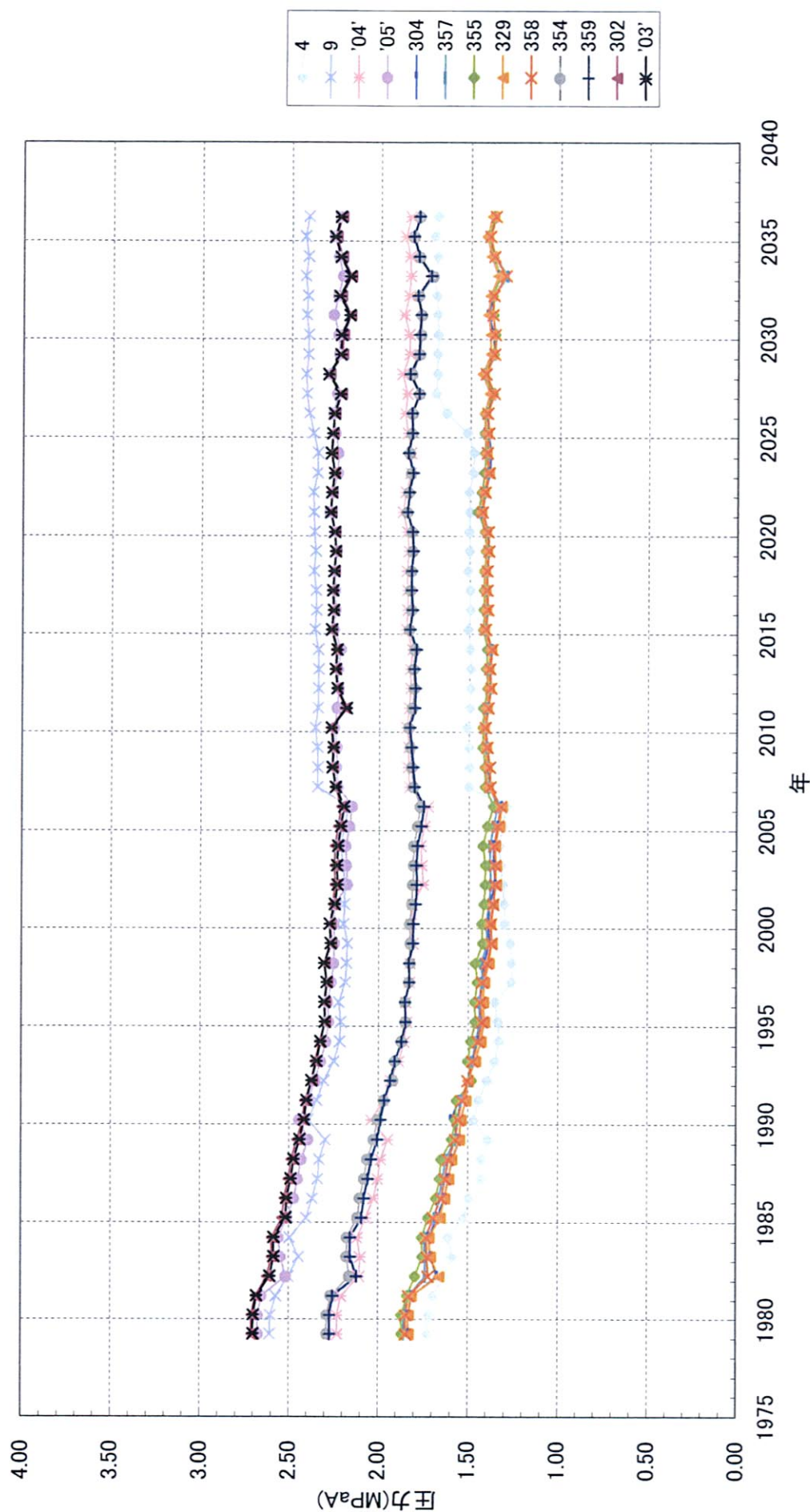


図2-8-80 浅部井流入点ブロック圧力の挙動予測結果
 (ケースⅡ-2: 蒸気流量200t/h維持, かつ深部井熱水を地域中央部に還元)

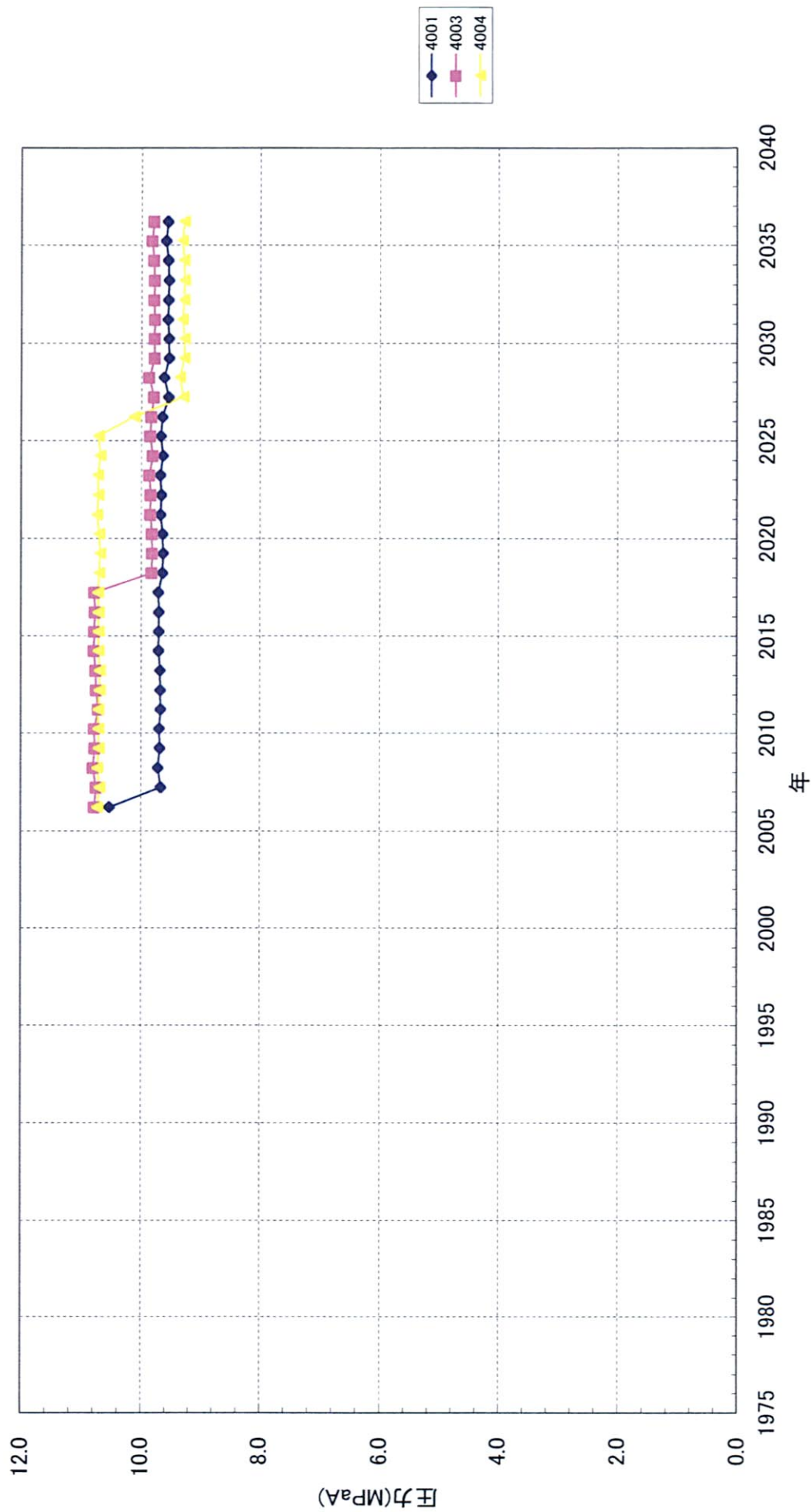


図2-8-81 深部井流入点ブロック圧力の挙動予測結果
 (ケースⅡ-2: 蒸気流量200t/h維持, かつ深部井熱水を地域中央部に還元)

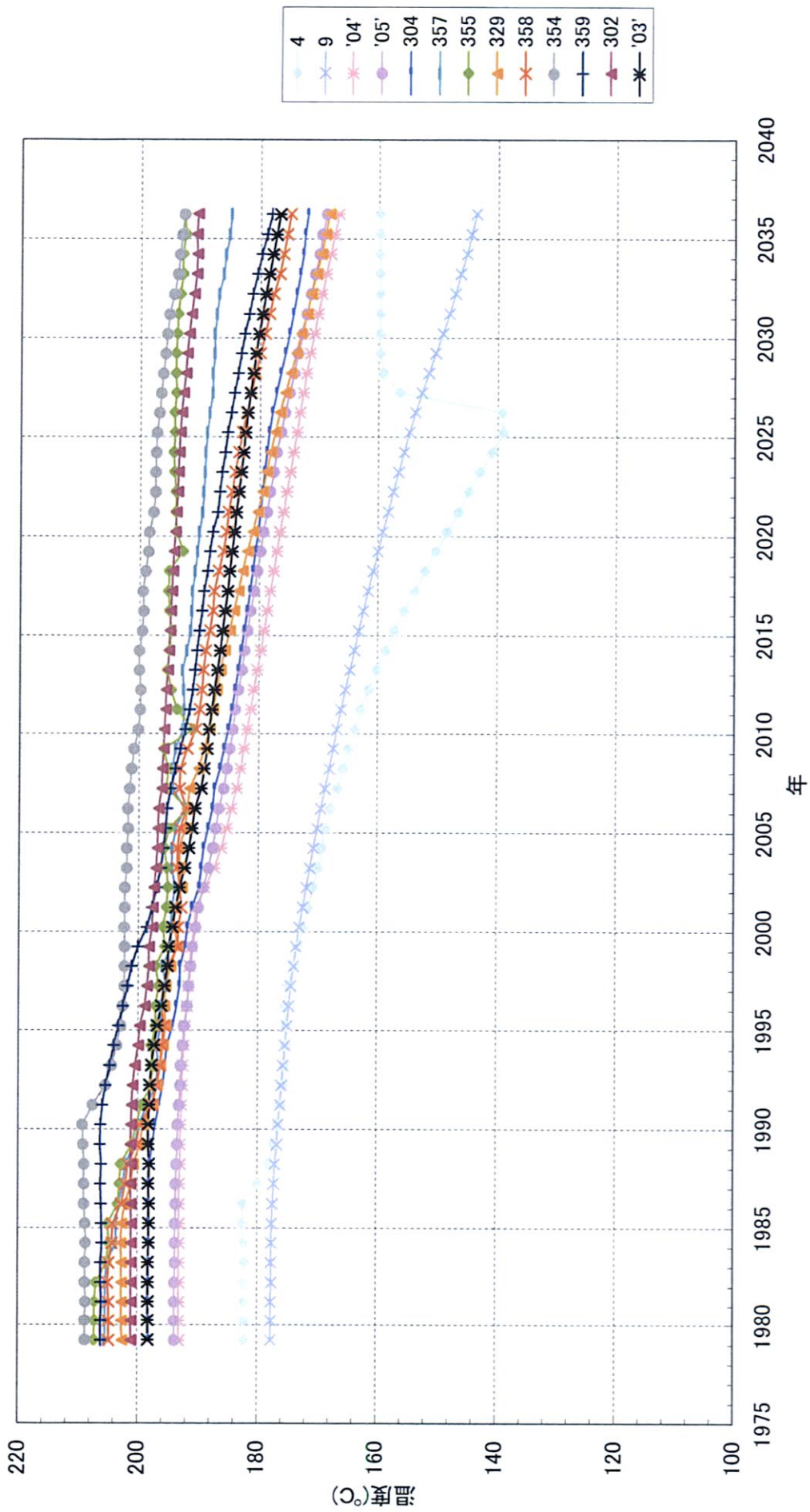


図2-8-82 浅部井流入点ブロック温度の挙動予測結果
 (ケースⅡ-2: 蒸気流量200t/h維持, かつ深部井熱水を地域中央部に還元)

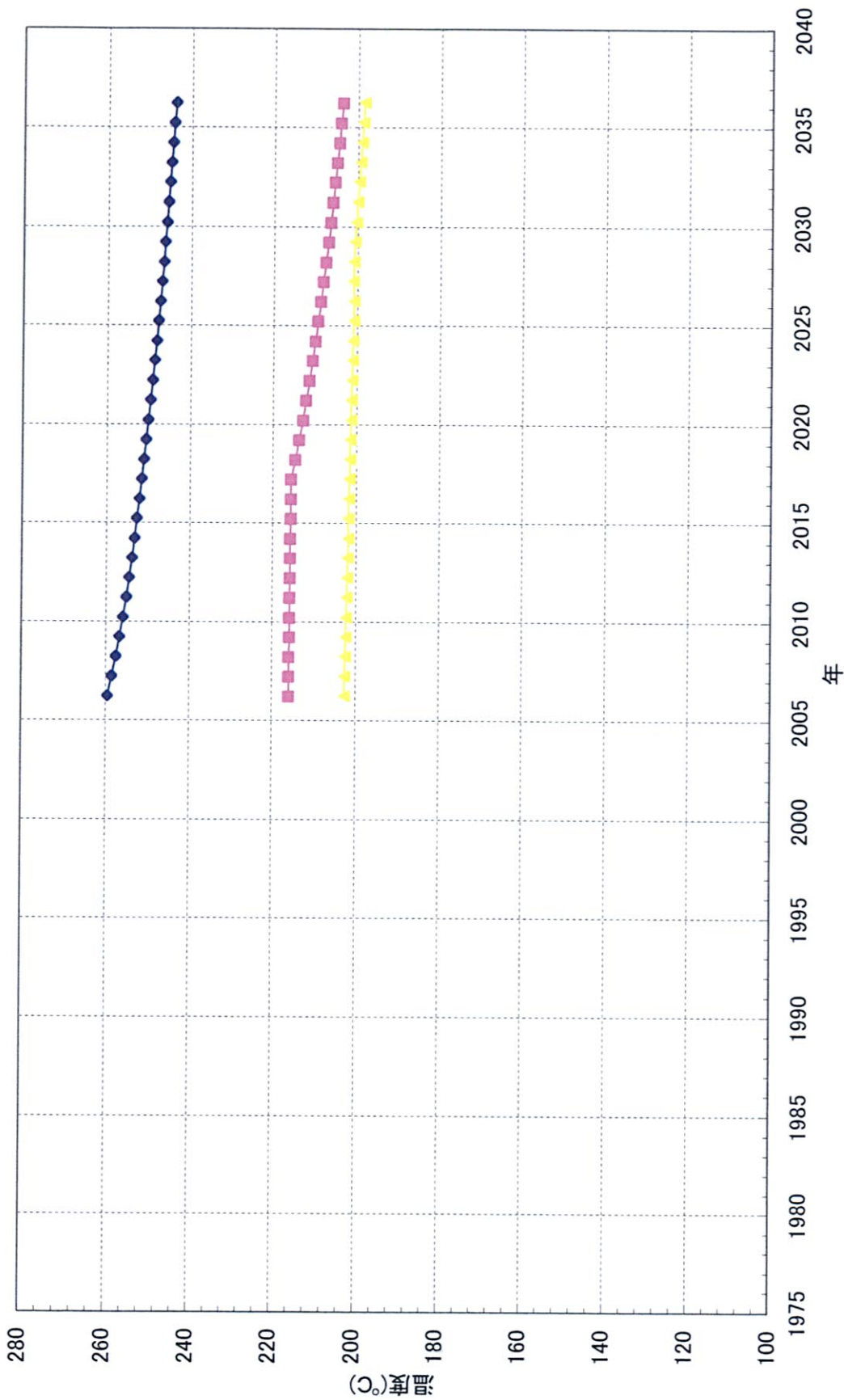


図2-8-83 深部井流入点ブロック温度の挙動予測結果
 (ケースⅡ-2:蒸気流量200t/h維持, かつ深部井熱水を地域中央部に還元)